

# DNA 损伤修复基因 XRCC4、RAD51 单核苷酸多态性与 与中国地区食管癌易感相关性研究 \*

范雪娇,任朋亮,卢钟娇,赵书,杨晓龙,刘载<sup>△</sup>

四川大学华西基础医学与法医学院 生物化学与分子生物学教研室(成都 610041)

**【摘要】目的** 探究 DNA 双链断裂修复基因 XRCC4、RAD51 单核苷酸多态性与食管癌易感性的关系。**方法** 采用以医院为基础的病例-对照研究方法,应用 PCR 限制性内切酶片段长度多态性(PCR-RFLP)检测包括正常对照 61 例,食管癌患者 123 例 XRCC4 基因启动子区 G-1394T(rs6869366)位点,以及 RAD51-G135C 位点的单核苷酸多态性。通过 logistic 回归分析计算出比值比(OR)和 95% 置信区间(95%CI)。**结果** XRCC4 rs6869366 位点 G 等位基因的基因型(GT+GG)的携带者患食管癌的风险显著增加( $OR=3.022, 95\%CI=1.487 \sim 6.142, P=0.002$ )。**RAD51** 基因型 GC 和 CC 与携带 GG 的野生型个体相比,携带 RAD51 变异基因型(GC 和 CC)的个体具有更高的患癌风险( $OR=3.643, 95\%CI=1.501 \sim 8.842, P<0.05$ )。**结论** DNA 损伤修复系统中的基因多态性很可能与食管癌发生的易感性有关,XRCC4 G-1394T,RAD51-G135 C 位点多态性改变均可增加食管癌的发病风险。

**【关键词】** XRCC4 RAD51 食管癌 单核苷酸多态性

**The Study of Esophageal Cancer Risk Associated with Polymorphisms of DNA Damage Repair Genes XRCC4 and RAD51**  
FAN Xue-jiao, REN Peng-liang, LU Zhong-jiao, ZHAO Shu, YANG Xiao-long, LIU Ji<sup>△</sup>. Department of Biochemistry and Molecular Biology, West China School of Preclinical and Forensic Medicine, Sichuan University, Chengdu 610041, China

<sup>△</sup> Corresponding author, E-mail: liuji6103@scu.edu.cn

**【Abstract】Objective** Investigate the association between genetic polymorphism of DSBs repair gene XRCC4, RAD51 and susceptibility to esophageal cancer (EC). **Methods** A hospital based case-control study with 123 EC cases and 61 controls in a Chinese population was conducted. PCR-RFLP was applied to investigate the genotype of XRCC4 promoter G-1394T (rs6869366) and RAD51-G135C and then statistical analysis was conducted by calculating the adjusted odds ratios (OR) and 95% confidence intervals (95%CI). **Results** A significant difference of XRCC4-1394 polymorphism was observed between EC cases and controls ( $P<0.05$ ). Carriers of the XRCC4 rs6869366 G allele (GC+GG) were at a higher risk of developing EC with the TT genotype as reference ( $OR=3.022, 95\%CI=1.487 \sim 6.142, P=0.002$ ). When GG served as the reference group of RAD51-G135C allele, variant genotype (GC and CC) had a significant increased risk of lung cancer ( $OR=3.643, 95\%CI=1.501 \sim 8.842, P<0.05$ ). **Conclusion** Our findings indicated that genetic variants in DNA repair pathways may be involved in esophageal tumorigenesis. XRCC4 G-1394T and RAD51-G135C conferred risk for the process of developing EC.

**【Key words】** XRCC4 RAD51 Esophageal cancer Single nucleotide polymorphism

食管癌是国内外较常见的恶性肿瘤之一,位于世界癌症相关死亡疾病第六位<sup>[1]</sup>,每年全球大约有 30 万人死于食管癌。我国食管癌发病率现位居世界第一,除饮食习惯、环境因素、微量元素以及癌前病变外,包括细胞周期调控、癌基因和 DNA 损伤修复在内的许多因素可能与食管癌发生相关<sup>[2]</sup>。单核苷酸多态性(SNP)是人类遗传变异最普遍的形式,愈来愈多的研究报告表明 DNA 修复基因的特定

SNP 位点会影响相关酶的表达水平或活性,以及机体对 DNA 损伤的修复效能,修复基因缺陷可能导致遗传的不稳定以及肿瘤发生<sup>[3,4]</sup>。

XRCC4 与 RAD51 是 DNA 双链断裂(DSBs)修复的重要成员。XRCC4 是核内磷脂蛋白,DSBs 发生后,诱导 XRCC4 样因子(XLF/Cer)刺激互补或非互补的 DNA 末端通过 XRCC4-DNA 连接酶进行连接。研究表明,淋巴细胞和神经元的分化都必需依赖 XRCC4 末端连接蛋白。RAD51 是一种高度保守的 DNA 修复蛋白,参与了减数分裂和有丝分裂重组,并在依赖同源重组修复的 DNA 双链断裂的修复过程中发挥重要作用<sup>[4]</sup>。RAD51 基因的

\* 教育部博士点基金新教师项目(No. 20070610124)和教育部留学回国人员启动基金项目(No. 2008890-19-11)资助

△ 通讯作者, E-mail: liuji6103@scu.edu.cn

5'-非翻译区(5'-UTR)存在两种SNP:G135C和G172T<sup>[5]</sup>。其中RAD51-G135C多态性较常见,在髓系白血病、非小细胞肺癌、头颈癌、乳腺癌以及卵巢癌中均有报道。RAD51-G135C与肿瘤发生的机制可能通过调控元件与5'-UTR区域结合从而影响mRNA的剪接、转录调控、翻译效率及mRNA的稳定性,导致多肽产物水平的改变,进而引起RAD51蛋白功能改变<sup>[6,7]</sup>。

我们通过检测123例食管癌患者以及61例健康人的XRCC4 G-1394T(rs6869366)、RAD51-G135C基因型分布,比较不同基因型与食管癌发生的相关性,为进一步阐明食管癌的病因学机制以及对该疾病的发生风险进行预测。

## 1 材料和方法

### 1.1 研究样本

所有研究对象均为中国人群,包括2008~2011年间在四川省绵阳市肿瘤医院招募的123例经组织病理学确诊的食管癌患者(不受年龄、性别、组织学类型限制,术前未经放射和抗癌药物治疗),其中男

99例,女24例,平均年龄(59.48±7.66)岁。对照组:61例,选择与病例组年龄、性别、种族匹配的,无血缘关系的同期体检健康的人员,其中男48例,女13例,平均年龄(59.33±9.62)岁,两组平均年龄差异无统计学意义。

所有受试者均采集外周静脉血,EDTA抗凝,-20℃保存,同时收集每个病例的吸烟饮酒史、家族史等详细的临床资料。

### 1.2 DNA的提取

血液样本中基因组DNA的提取,采用全血基因组DNA提取试剂盒(溶液型)(北京百泰克公司),按照说明书规范操作。

### 1.3 XRCC4、RAD51基因单核苷酸多态性分析

采用PCR体外扩增目的基因片段和限制性内切酶片断长度多态分析(PCR-RFLP)方法检测目的基因多态性位点的基因型。引物序列设计及扩增反应条件和RFLP所用酶见表1。扩增反应在热循环仪(BIOER)上进行。酶切产物经20 g/L聚丙烯酰胺凝胶电泳,Gold View染色,紫外光照射下在凝胶成像系统上观察分析。

表1 PCR-RFLP引物序列设计及扩增反应条件和酶切分析结果

Table 1 PCR-RFLP primer sequence design and amplification reaction conditions and enzyme analysis results

SNP	Primer sequence (5'-3')	Size (bp)	PCR conditions	Restriction enzyme	Genotype	Fragment sizes (bp)
XRCC4 G-1394T>G	F:GATGCGAACTCAAGATACTGA R:TGTAAAGCCAGTACTCAAACCT	300	94℃ 5 min 35 cycles: 94℃ 30 s, 56℃ 30 s, 72℃ 30 s 72℃ 10 min	Hinc II	TT GG GT	300 200,100 300,200,100
RAD51 G135C	F:TGGGAAC TGCAACTCATCTGG R:GCGCTCCTCTCCAGCAG	157	95℃ 3 min 35 cycles: 94℃ 30 s, 53.5℃ 30 s, 72℃ 30 s 72℃ 7 min	BstU I	GG GC CC	71,87 71,87,157 157

SNP: Single nucleotide polymorphism; PCR: Polymerase chain reaction

### 1.4 统计学方法

以t检验比较病例组与对照组间年龄分布的差异,卡方检验( $\chi^2$ -Test)验证基因型频率是否符合Hardy-Weinberg平衡定律。同时采用 $\chi^2$ -Test比较病例组与对照组的吸烟饮酒史、家族史等临床资料(表中任何一格的数值小于5时用费歇尔精确检验)。利用logistic回归模型,计算OR值及其95%CI评估XRCC4、RAD51各种基因型和等位基因之间交互作用与食管癌易感的相关性。均为双侧概率检验,检验水准 $\alpha=0.05$ 。

## 2 结果

### 2.1 研究对象特征

本研究中共计184个样本,包括123例食管癌患者和61例健康人。研究人群特征见表2。两组60岁以上老年人患病率和性别分布无明显差别

( $P>0.05$ )。EC组的吸烟、饮酒比例明显高于对照

表2 病例组(123例)和对照组(61例)研究对象的人口特征分布

Table 2 Population distribution characteristics of case and control groups

Characteristics	Case [n (%)]	Control [n (%)]	P
Age (yr.)			
<60	70 (56.9)	33 (54.1)	0.647
≥60	53 (43.1)	28 (45.9)	
Gender			
Male	99 (80.5)	48 (78.7)	0.733
Female	24 (19.5)	13 (21.3)	
Smoking			
Never	32 (26.0)	43 (70.5)	<0.001
Ever	91 (74.0)	18 (29.5)	
Alcohol			
Never	48 (39.1)	41 (67.2)	0.002
Ever	75 (60.9)	20 (32.8)	
Family history			
EC	6 (4.9)	3 (4.9)	0.469
Other cancers	10 (8.1)	2 (3.3)	
No	107 (87.0)	56 (91.8)	

EC: Esophageal cancer

组,分别是 74.0% 比 29.5% 和 60.9% 比 32.8% ( $P < 0.001, P = 0.002$ ),提示吸烟和饮酒可能对食管癌的发病有潜在的诱导作用。对病例组和对照组亲属的上消化道肿瘤史(UGIC)分析发现,两组的差异无统计学意义( $P = 0.469$ )。

## 2.2 XRCC4、RAD51 基因 SNP 位点分析

PCR-RFLP 结果见图 1, 图 2。

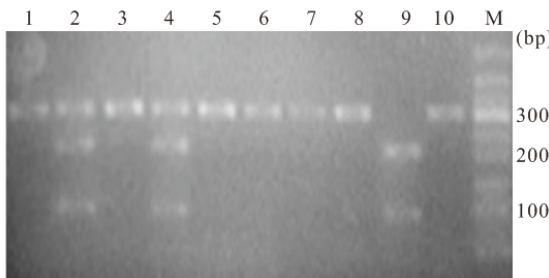


图 1 XRCC4 *Hinc* II 酶切结果

Fig 1 The result of *Hinc* II enzyme analysis

1,3,5,6,7,8,10: TT; 2,4: GT; 9: GG; M: Marker

## 2.3 DNA 修复基因多态性与食管癌发生风险之间的关系

我们根据观察到的基因型分布求出等位基因频率而估算出理论基因型分布,用其与实际值进行卡方检验。结果显示,基因型在两组的预期值与实际值均无统计学差异( $\chi^2 = 1.042, 0.983, P > 0.05$ ),符合 Hardy-Weinberg 遗传平衡,具有群体代表性。XRCC4 的 3 种基因型 TT、GT、GG,EC 组和健康对照组的基因型频率分别为: 54.5%、34.9%、10.6% 和 77.0%、23.0%、0%,组间有明显差别。与 TT 纯合基因型相比,GT 杂合基因和 GT+GG

表 3 XRCC4 和 RAD51 基因型频率分布及其与食管癌风险的关系

Table 3 XRCC4 and RAD51 genotype frequency distribution and the relationship between the risks of esophageal cancer

SNPs	Case [n (%)]	Control [n (%)]	Adjusted <sup>a</sup> OR (95% CI)	P
<i>XRCC4</i> G-1394T				
TT	67 (54.5)	47 (77.0)		
GT	43 (34.9)	14 (23.0)	2.320 (1.125-4.785)	0.003
GG	13 (10.6)	0 (0.0)		
GT+GG	56 (45.5)	14 (23.0)	3.022 (1.487-6.142)	0.002
T	177 (71.9)	108 (88.5)		<0.001 <sup>b</sup>
G	69 (28.1)	14 (11.5)		
<i>RAD51</i> -G135C				
GG	83 (67.5)	54 (88.6)		
GC	35 (28.5)	6 (9.8)	3.750 (1.458-9.647)	0.004
CC	5 (4.0)	1 (1.6)	3.000 (0.326-27.609)	0.003
GC+CC	40 (30.5)	7 (11.4)	3.643 (1.501-8.842)	0.003
G	201 (81.7)	114 (93.4)		0.004 <sup>b</sup>
C	45 (18.3)	8 (6.6)		

a: Adjusted for age, gender, smoking, drinking status and family history of cancer; b: P value determined by  $\chi^2$  test; OR: odds ratio; CI: Confidence interval

将突变纯合子和杂合子(XRCC4: GT + GG; RAD51: GC+CC)统一划为有突变的基因型,野生型纯合子作为未发生突变的对照基因型,以此分析XRCC4和RAD51的交联作用,结果见表4,携带XRCC4或RAD51其中一种突变基因型的个体,发

生食管癌的风险是未携带者的2.396~2.635倍,若同时携带以上2种基因的突变型,其风险性显著增加为正常基因型携带者的9.486倍,提示DSBs修复通路中参与基因的SNPs改变与食管癌发病的遗传机制有关。

表4 联合分析XRCC4和RAD51多态性与食管癌发生风险估计

Table 4 Conjoint analysis XRCC4 and RAD51 polymorphism and esophageal cancer risk assessment

Genotype 1	Genotype 2	Case [n (%)]	Control [n (%)]	Adjusted <sup>a</sup> OR (95%CI)	P
RAD51-G135C	XRCC4 G-1394T				
GG	TT	37 (41.1)	39 (69.7)	1.0 (reference)	
GG	GT+GG	25 (27.8)	11 (19.6)	2.396 (1.034-5.548)	0.039
GC+CC	TT	10 (11.1)	4 (7.1)	2.635 (0.760-9.140)	0.117
GC+CC	GT+GG	18 (20.0)	2 (3.6)	9.486 (2.057-43.747)	0.001

a: Adjusted for age, gender, smoking, drinking status and family history of cancer; OR: Odds ratio, CI: Confidence interval

### 3 讨论

食管癌的发生与其他多种肿瘤一样,涉及异常细胞周期调控、DNA修复障碍,核受体缺陷等多个基因突变<sup>[8]</sup>。在以医院为基础的病例-对照研究实验中,我们探究两种DNA修复基因XRCC4、RAD51的SNP与中国四川地区人群食管癌易感之间的关系。研究发现,XRCC4 G-1394T(rs6869366)、RAD51-G135C与食管癌的易感性相关。

XRCC4作为非同源末端连接(NHEJ)体系中的特殊一员,其在癌症发生进展中的作用机制还未证实,但XRCC4 G-1394T(rs6869366)位点的SNPs已被发现和口腔、胃肠、膀胱、乳腺和肺癌等多种恶性肿瘤相关。XRCC4 rs6869366位点位于启动子上游1571 bp,可以调控基因的转录。目前,关于XRCC4多态性的位点研究主要集中于其内含子和外显子编码区,该位点与肿瘤的关系尚不明确。本研究发现XRCC4基因G-1394T位点等位基因和基因性分布频率在EC组和正常对照组中的差异明显。与TT野生纯合基因型相比,GT杂合和GT+GG突变基因型组的食管癌发病风险明显增加( $OR=2.320, 95\% CI=1.125 \sim 4.785, P=0.003$ ;  $OR=3.022, 95\% CI=1.487 \sim 6.142, P=0.002$ )。而G等位基因携带者的患病风险也明显上升( $P<0.001$ )。

RAD51参与同源重组修复。当细胞暴露在基因毒性剂或丝裂霉素C、紫外线照射、电离辐射造成DNA损伤后,RAD51蛋白从细胞质转运到细胞核<sup>[7]</sup>,并通过c-Abl磷酸化;然后被招募到DNA断裂位点,断裂的末端被单向5'-3'核酸外切酶水解

后,RPA蛋白结合到单链DNA(single strand DNA,ssDNA)上,异三聚体复制蛋白A(RPA)是一种与ssDNA结合具有高亲和力的核蛋白并能阻止RAD51聚合到ssDNA上<sup>[9]</sup>。而重组调解剂RAD52能抵消RPA的抑制作用,RAD52结合到RPA-ssDNA复合物上形成RAD52-RPA-ssDNA核蛋白丝复合体并协助RAD51将RPA置换出来<sup>[4,9,10]</sup>,使RAD51以螺旋核蛋白丝的形式与ssDNA的3'末端结合<sup>[9]</sup>。这些核蛋白丝催化另一条与受损DNA序列相同的完整姐妹染色单体或同源DNA链交换染色体,并为恢复丢失的遗传信息提供模板<sup>[11]</sup>。最后,在其它酶的作用交叉连接被切开,连接成一条新的链。

RAD51主要有6种同源物,分别为XRCC2、XRCC3、Rad51B(Rad51L1)、Rad51C(Rad51L2)、Rad51D(Rad51L3)及DMCl。这些同源物间可形成多种重组蛋白,具有单链DNA结合酶以及ATP酶的活性,能在DNA双链断裂处协同形成RAD51核灶区(DNA损伤修复的位点)来激活同源重组<sup>[12]</sup>。同时RAD51需与如BRCA1、BRCA2、Rad52、XRCC2和XRCC3等其他蛋白相互作用,形成复合体来共同完成同源重组的过程<sup>[12,13]</sup>。

适量的RAD51对修复自发性的高等真核生物增殖细胞染色体断裂过程是必需的,功能研究报道适量的135C可提高RAD51基因的转录水平<sup>[8]</sup>、增强启动子功能,从而表达更多的RAD51蛋白参与同源重组修复过程,使DNA损伤得到修复。尽管RAD51具有维护基因完整性的作用,但RAD51蛋白的异常高表达则可能通过刺激短重复元件和同源序列之间的异常高度重组导致基因的不稳定并发生恶变<sup>[14]</sup>:①RAD51的DNA修复功能,可以减少

DNA 损伤和肿瘤细胞凋亡。②通过 RAD51 蛋白过度刺激同源重组以及姐妹染色体的交换<sup>[9,15]</sup>可能导致基因的不稳定性与肿瘤细胞的遗传多样性<sup>[15]</sup>,因而大量的 RAD51 突变,可导致 RAD51 蛋白过表达,从而引起肿瘤的发生。在乳腺癌、肺癌、卵巢癌、胰腺癌、结肠癌以及骨肉瘤<sup>[4,14]</sup>等多种恶性肿瘤中均有 RAD51 蛋白过表达(约为正常组织的 2-7 倍)的报道。此外,越来越多的研究表明 RAD51 过表达可以增加细胞对放射及一些化疗药物的耐受性<sup>[4,14]</sup>。在本实验中,我们分析了 DNA 修复基因 RAD51 基因的 5'-非翻译区(5'-UTR)的多态性位点 G135C 与食管癌易患性的关系,发现 RAD51 基因型 GG、GC 和 CC 在食管癌病例组的分布频率分别为 67.9%、28.3% 和 3.8%,在正常对照组的分布频率分别为 88.6%、9.8% 和 1.6%;与携带 GG 的个体相比,携带 RAD51 变异基因型(GC 和 CC)的个体具有更高的患癌风险( $P=0.003, P<0.05$ )。

食管癌的发生是多因素、多阶段的复杂过程,在外界因素的影响下,多种有害或有益的突变的相互作用达到机体损伤和修复的阈值时,将导致其发生。某一通路上的基因可能会与同一通路上的其它基因作用,某些基因也可能与其它通路上的某些基因有交互作用,共同调节癌症的易感性。XRCC4 和 RAD51 分别作为 DSBs 修复通路中 NHEJ 和 HR 两种主要修复方式的重要作用基因,研究其两者间在食管癌易感性的交互作用,发现仅携带一种突变基因型的人或携带两种突变基因型的人发生食管癌的风险均高于正常非携带者,差异具有统计学意义,这一发现可能会对食管癌的发生机制提供新的研究方向。

在实验中可能会由于其他未知的功能性 SNPs 与我们研究的 SNPs 之间连锁不平衡造成一些偏差,此外,不同的区域背景,样本量的不足及不同的癌症诱因都为偏差的存在提供可能。因此,扩大样本量、增加人口区域多样性是在以后的实验中需要注意的。

综上所述,食管癌的发病、进展是个体的易感特性和外界环境共同作用的多因素、多阶段的综合过程,个体的遗传易感又源于多种基因的突变。DNA 损伤修复作为正常机体重要和首选的阻止突变的有效机制,在防止肿瘤等严重疾病的发生发展中有着不可替代的作用。随着分子生物学技术的进步和人

类基因组计划的完善,研究 DNA 修复基因多态性和肿瘤易感特征的内在联系有助于从分子和细胞水平提高肿瘤的早期诊断率、治疗有效性和预后,对于筛查易感人群,早期预防和为抗肿瘤药物提供靶点,及明确前期癌变基因提供理论模型。

## 参 考 文 献

- Xing D, Tan W, Lin D. Genetic polymorphisms and susceptibility to esophageal cancer among Chinese population (review). *Oncol Rep*, 2003; 10(5):1615-1623.
- Hiyama T, Yoshihara M, Tanaka S, et al. Genetic polymorphisms and esophageal cancer risk. *Int J Cancer*, 2007; 121(8):1643-1658.
- Goode EL, Ulrich CM, Potter JD. Polymorphisms in DNA repair genes and associations with cancer risk. *Cancer Epidemiol Biomarkers Prev*, 2002; 11(12):1513-1530.
- Qiao GB, Wu YL, Yang XN, et al. High-level expression of Rad51 is an independent prognostic marker of survival in non-small-cell lung cancer patients. *Br J Cancer*, 2005; 93(1):137-143.
- Rollinson S, Smith AG, Allan JM, et al. RAD51 homologous recombination repair gene haplotypes and risk of acute myeloid leukaemia. *Leuk Res*, 2007; 31(2):169-174.
- Poplawski T, Arabski M, Koziorowska D, et al. DNA damage and repair in gastric cancer—a correlation with the hOGG1 and RAD51 genes polymorphisms. *Mutat Res*, 2006; 601(1-2): 83-91.
- Richardson C, Stark JM, Ommundsen M, et al. Rad51 overexpression promotes alternative double-strand break repair pathways and genome instability. *Oncogene*, 2004; 23(2):546-553.
- Bhatla D, Gerbing RB, Alonso TA, et al. DNA repair polymorphisms and outcome of chemotherapy for acute myelogenous leukemia: a report from the Children's Oncology Group. *Leukemia*, 2008; 22(2):265-272.
- Sung P, Klein H. Mechanism of homologous recombination: mediators and helicases take on regulatory functions. *Nat Rev Mol Cell Biol*, 2006; 7(10): 739-750.
- 杨乐平, 谭兴国, 杨竹林等. 胰腺癌大鼠 RAD51 和 MAX 的表达. 中南大学学报, 2010; 35(2):146-151.
- Schwendener S, Raynard S, Paliwal S, et al. Physical interaction of RECQL helicase with RAD51 facilitates its anti-Recombinase activity. *J Biol Chem*, 2010; 285 (21): 15739-15745.
- Liu Y, Maizels N. Coordinated response of mammalian Rad51 and Rad52 to DNA damage. *EMBO Rep*, 2000; 1(1):85-90.
- Jara L, Acevedo ML, Blanco R, et al. RAD51 135G>C polymorphism and risk of familial breast cancer in a South American population. *Cancer Genet Cytogenet*, 2007; 178(1): 65-69.
- Flygare J, Falt S, Ottenvall J, et al. Effects of HsRad51 overexpression on cell proliferation, cell cycle progression, and apoptosis. *Exp Cell Res*, 2001; 268(1):61-69.
- Raderschell E, Stout K. Elevated levels of Rad51 recombination protein in tumor cells. *Cancer Res*, 2002; 62(1): 219-225.

(2012-12-24 收稿, 2013-04-09 修回)

编辑 汤洁